

雨天時雨水の特性とその制御 —雨天時合流式下水道の場合—

建設省土木研究所 中村栄一

1. 序

わが国では下水道普及率そのものが低調であったこと及び近代式下水道を先駆的に取り入れた多くの大都市が現在のように水質制御をその主たる目的としていたのではなく寧ろ雨水排除機能による浸水防止をその主たる目的としていたため、合流式下水道からの雨天時過剰越流水を放流先水域の水質汚濁に対する対応は今まで程重大な汚濁源として認識する人は少なかった。

現在においても、わが国全体からすれば人口普及率で25%前後に過ぎないわけであるが、多くの河川・湖沼・海域の水質汚濁要因の最大のものは下水道未整備の集落からの晴天時及び雨天時の排水であって、合流式下水道からの雨天時過剰越流水あるいは分流式下水道で整備された地域からの雨水流出水が放流先水域の重要な汚濁源として認識される例は少ないことに変りはない。

しかしながら、例が少ないことと重要でないことはこの場合同義ではない。全国600以上の都市に対して、数のうえでは2%足らずの10大都市が、人口のうえではわが国全体の20%以上を占め、その市街地の大半が合流式下水道で整備が行なわれてあり、既に人口に対して65%前後の普及率を持っていることを考えると、合流式下水道からの雨天時過剰越流水が単にその地域だけの問題としてではなく、水質保全政策上の一つの国家的問題として認識されつつあることは事実である。

本論は、雨天時合流式下水道のこのような問題点を解決するための第一歩として、雨天時雨水の特性を水量および負荷量の観点からまとめ若干の考察を行なしたものである。

2. 雨水流出台特徴

雨天時の汚濁負荷が雨水流によって流送されることを考えると、下水道が整備された地域における雨水流出特性を知つておく必要がある。

2. 1. 雨水流出台率

雨天時に下水管渠を流下してくる雨水流出水はほとんどが表面流出水であるが、この流出量と総降雨量との比率を雨水流出率と呼んでいる。一般に総降雨量が大きくなると雨水流出率も増大する傾向にある(図1)。しかしながら、雨水流出率を総降雨量をパラメータとして考へてもそれほど精度的な向上は望めない。寧ろ不漫透面積率(I_{mp})をそのまま雨水流出率に置き換えて雨水流出量を推定するほうが全体的なパラツキは少ないと思われる。図2は横軸に総降雨量、縦軸に雨水流出量をとて不漫透面積率との比較を行なったものである。原点とプロットとを結ぶ直線の傾きが雨水流出率であるから、これらを不漫透面積率で置き換えることがわかる。

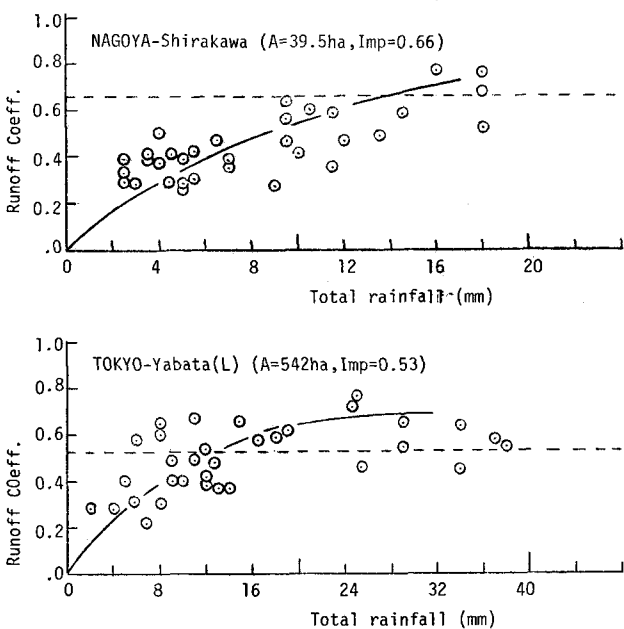


図1. 総降雨量と雨水流出率との関係

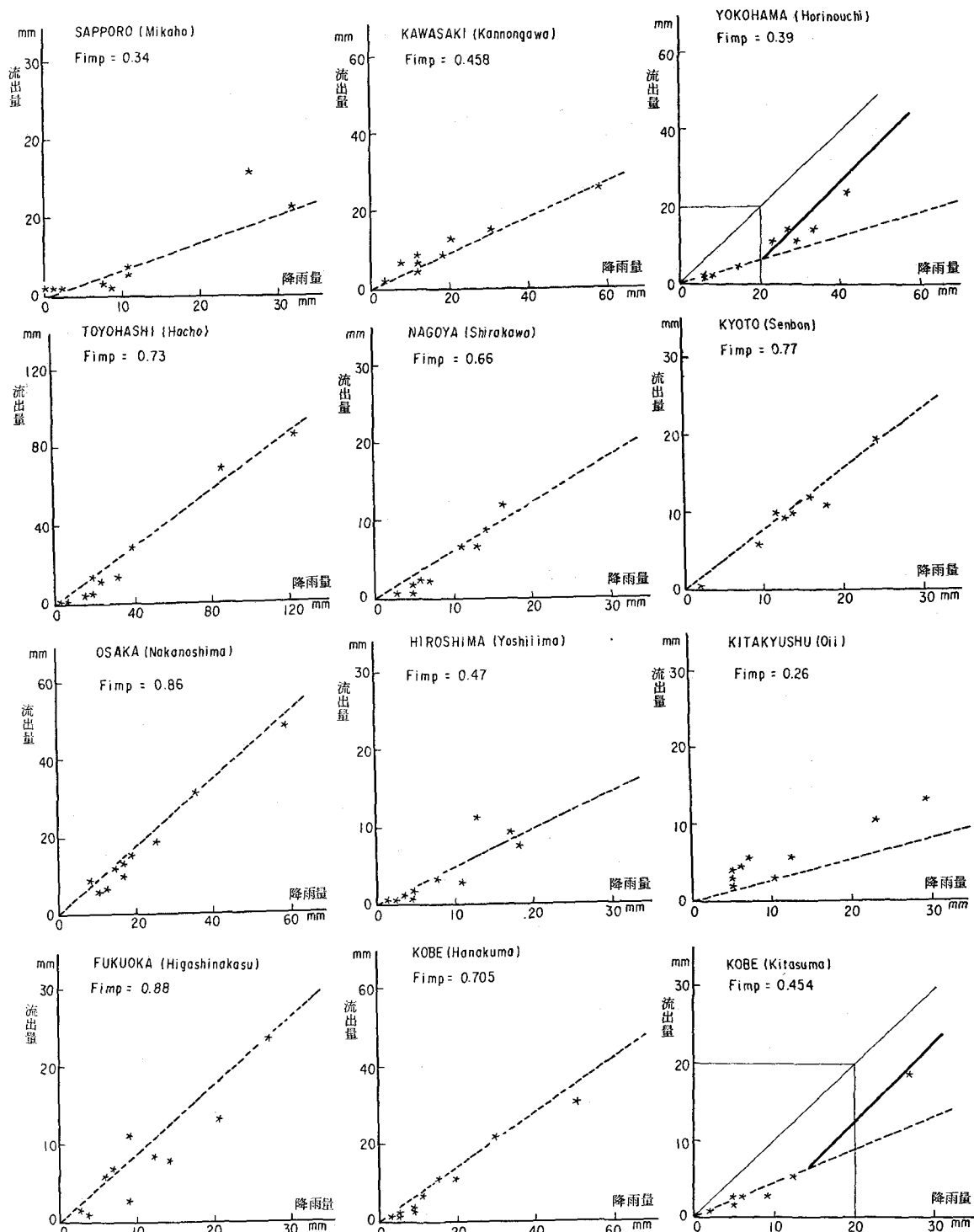


図2. 不透水面積率別にみた総降雨量と総流出量との関係

2.2. 流連時間

斜面からの流れをマニシク型の流れとすれば、その流連時間たるは

$$t_c = \beta \cdot (L \cdot N / \sqrt{S})^{3/5} \cdot k_e^{-2/5} \text{ (min)} \quad ①$$

ただし、 L : 力学的斜面長(m), N : 等価粗度($m^{-1/5}$ sec), S : 斜面勾配, k_e : 有効降雨強度(mm/hr), β : 定数 $53 \times 36^{0.4} = 6.988$ で与えられる。図3は流連時間と有効降雨強度との関係を見たものであるが、バラツキはあるものの上式の妥当性がうかがえる。

角屋等は多くの実測結果から、排水面積 A (km^2)を取り入れ

$$t_c = C \cdot A^{0.22} \cdot k_e^{-0.35} \quad ②$$

を提案しているが、この式に従った場合の C 値及び①式より求めた等価粗度の値の例を表1に示す。

2.3. 貯留量と流出量

下水管渠からの流出量は、在来の貯留函数法による流域内貯留量よりも寧ろ下水管内のものを対象とした貯留即ち管渠内貯留量と一意的な絆びつきがあると思われる。従って RRL 法のようないくつかの貯留を考慮した貯留法は妥当なものであり、事実検証計算の一一致度も良い。管内貯留量は、計画降雨に対する流下時間が長いほど管渠延長を長いとを考えれば、一定の流出量に対する流下時間をパラメーターとして表すことが出来る。図4は懸案地點 K における流出量を 30 (mm/hr) としたときの貯留量 S_{30} (mm) と流下時間との関係について山口等が作成した図 K 若干のデータを加えたものであるが、流下時間 T_c を知ることによって次式から流下時間の関数で $S \sim T_c$ の関係を表せることがわかる。

$$S_{30} = K \cdot (30)^{0.20} \text{ (mm)} \quad ③$$

$$S_{30} = 2.865 \cdot (T_c / 10)^{0.75} \text{ (mm)} \quad ④$$

3. 汚濁負荷流出特性

3.1. 雨天時下水の平均的水質

雨天時下水の平均的な水質について

晴天時下水との比較といふ点で知つておくることは、雨天時過剰廻流水の相対的インパクトを理解する上で有益である。表2はその一例であるが、これによると雨天時下水の平均水質は晴天時下水に比較して、BOD で約7割、SBOD で約4割、SS で約1.1倍、KN, TP とも約5割といふことが出来る。最大値でみると雨天時の BOD, SS は晴天時の最大値を上回ることが多いが、SBOD, KN, TP についてはこのような傾向はない。

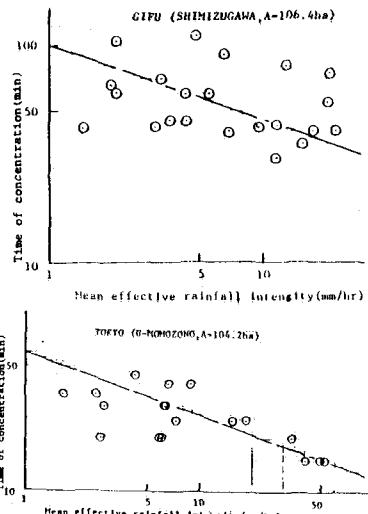


図3. 流連時間と有効降雨強度

表1. C 値と等価粗度

排水区名	面積(km ²)	斜面長(m)	勾配(0/00)	C 値	等価粗度(m ^{-1/5} sec)
YABATA	5.420	3,380	2.7	55.2	0.0010
U-MOMO	1.042	1,910	3.6	59.4	0.0011
SHIMIZU	1.064	2,700	1.7	98.6	0.0013
SENENEN	0.812	2,100	1.6	73.3	0.0008
HACHIO	0.684	700	1.2	59.8	0.0015
MIKAKO	0.443	1,780	2.7	119.6	0.0025

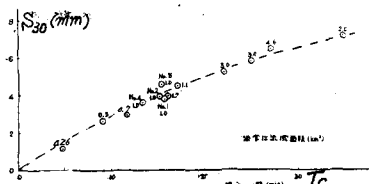


図4. 流下時間と S_{30} との関係

Table - 2. Quality of Combined Sewage

	BOD	SBOD	SS	KN	TP
DWF	39. -221. (134.3)	25. -119. (85.3)	46. -306. (151)	10.4-46.2 (24.5)	1.1-7.4 (4.0)
WWF					
470731	38. -353. (94.2)	15. -63. (29.0)	94. -686. (340)	7.3-17.3 (11.3)	1.1-2.9 (1.8)
470909	69. -158. (104.6)	26. -56. (37.1)	55. -214. (141)	13.2-14.7 (14.2)	2.2-2.8 (2.5)
471006	30. -240. (102.3)	19. -66. (18.5)	92. -716. (251)	10.0-33.8 (14.6)	1.7-5.9 (2.8)
480721	62. -317. (121.7)	50. -94. (65.3)	32. -788. (155)	14.4-36.1 (24.7)	2.5-7.2 (4.6)
480729	31. -147. (89.0)	10. -45. (18.3)	11. -375. (87)	10.1-29.4 (9.8)	8.3-1 (1.2)
480801	17. -246. (88.6)	11. -74. (19.4)	16. -1020. (221)	3.7-11.7 (4.3)	5.1-9 (0.54)
480804	20. -178. (70.1)	10. -64. (8.8)	14. -475. (114)	*****	*****
480810	20. -245. (99.5)	24. -88. (36.7)	21. -857. (182)	*****	*****
480824	25. -613. (93.0)	9. -238. (21.0)	39. -1768. (152)	*****	*****
481110	12. -368. (45.5)	4. -38. (9.3)	14. -680. (163)	2.4-26.7 (6.8)	2.3-1.1 (0.54)
WWF	11.6-613.4	3.9-38.4	11.0-1768.0	1.9-36.1	1.8-7.2
AVERAGE	(91.8)	(35.3)	(175.0)	(12.2)	(1.97)

3. 2. 流出負荷量と流量

雨天時の流出負荷量は一般に流量と残存負荷量に支配されると考えられる。図5は雨水流出期間中を対象に流出負荷量と流量の関係をプロットしたものである。流出負荷量を L (kg/s)、流量を $Q(m^3/s)$ として L を Q のみの関数として表そうとする場合には

$$L = K \cdot Q^n (Q - Q_c) \quad (5)$$

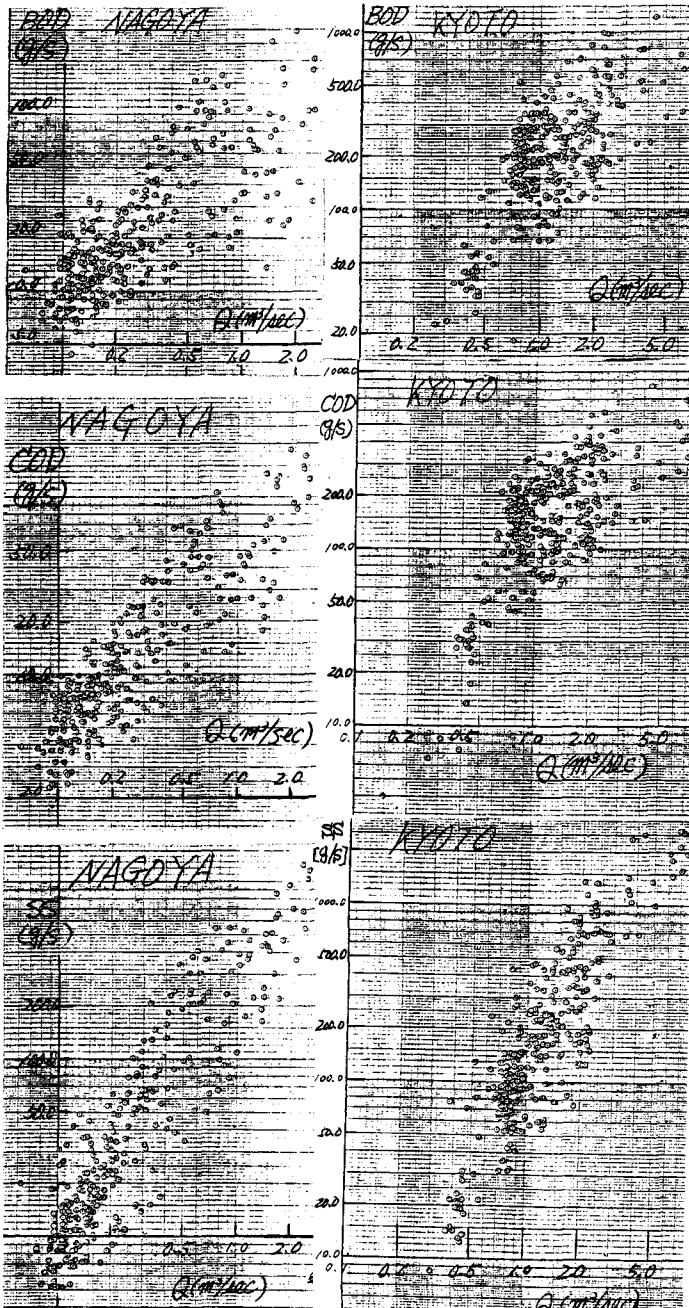
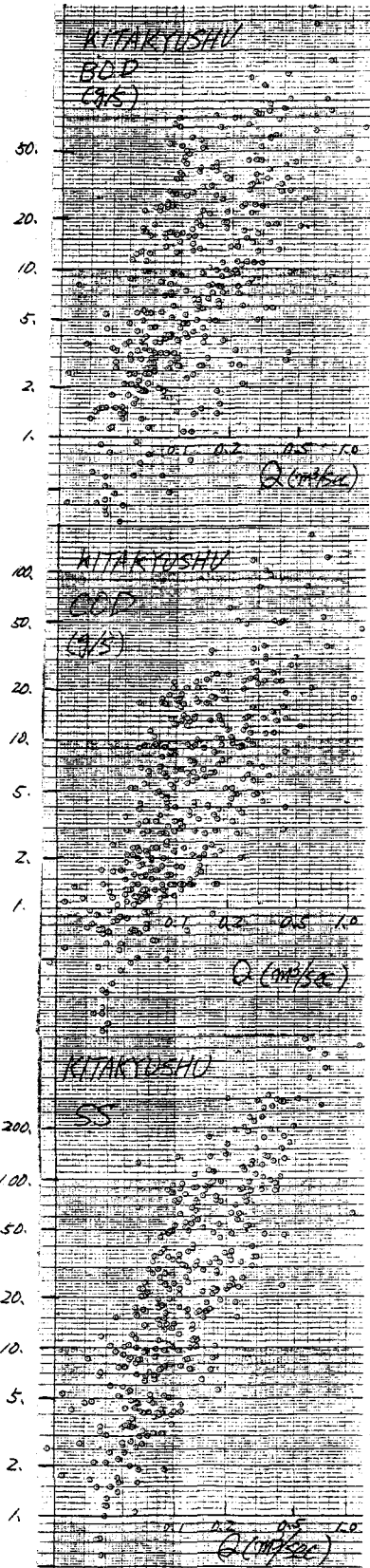


図5. 流量と流出負荷量との関係



といふ形が浮遊砂量を求める式と類似のものであり妥当であろう。しかし、流量と負荷量の間に比較的強い直線性が認められるSSKについても流量の増大期と減少期では異なった挙動をとるときがあり(図6), たとえ2つの場合についてK値を変えたとしても⑤式による予測には限界がある。その値は

$-0.4 < n_{BOD} < -0.1$; $-0.2 < n_{COD} < -0.1$; $0.2 < n_{SS} < 0.5$ 程度であり、 $K < KBOD$ の場合地盤差が大きい。

3.3. 流出負荷量と残存負荷量

雨水流出Kにおける貯留と流出の関係が劣悪負荷の流出Kにおける残存負荷量と流出負荷量の関係と考えれば、残存負荷量の意味することは容易に理解出来よう。勿論、後者の場合には流出量といふもう一つのパラメーターが関与していることは既述べた通りである。河川Kにおける浮遊砂量を考へる場合には、残存砂量が無限大と考えることも出来るが、下水

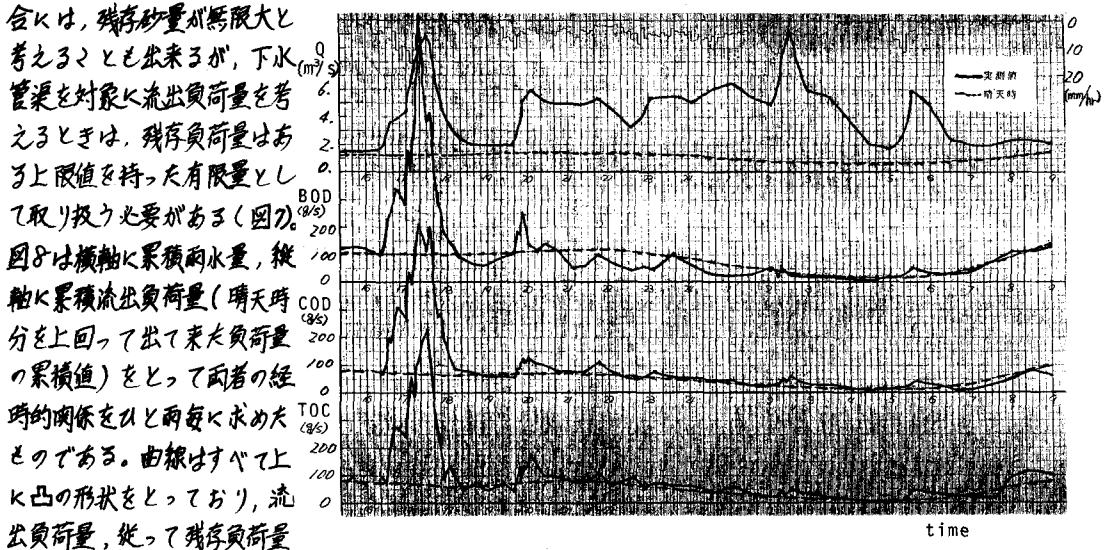


図6. 流量とSS負荷量

管渠を対象とした流出負荷量を考えると、残存負荷量はある上限値を持つ有限量として取り扱う必要がある(図7)。図8は横軸に累積雨水量、縦軸に累積流出負荷量(晴天時分を上回って出て来た負荷量の累積値)をとって両者の経時的関係を示すと毎日求めたものである。曲線はすべて上凸の形状をとっている。流出負荷量、従って残存負荷量

に上限値が存在することがわ

かる。同じような雨水流出状況であっても先行降雨条件

によって總流出負荷量が異なる。これは相互の初期残存負荷量が異なるため生ずるのであって次のように説明することが出来る。流出負荷量を L ($\text{kg}/\text{ha} \cdot \text{hr}$)、残存負荷量を P (kg/ha)、雨水流出量を f_L (mm/hr)、 k ($1/\text{mm}$)を定数とすると近似的に

$$L = k \cdot P \cdot f_L$$

と表わせる。一方、 P は連続式

$$dP/dt = i' - L$$

Kにおいて流入負荷量 i' を無視すると總流出負荷量は

$$\int L = P_0 - P = P_0 \cdot (1 - \exp(-k \cdot f_L)) \quad ⑧$$

で表わされ、初期残存負荷量 P_0 と總雨水流出量 $\int f_L$ がひと雨によく總流出負荷量の支配的なパラメーターとなることがわかる。

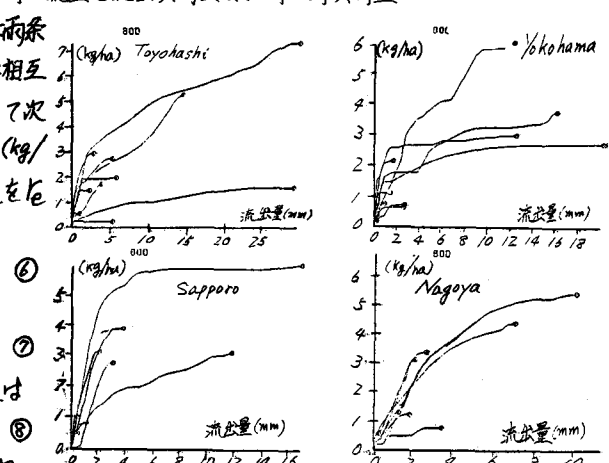


図7. 多重降雨時の流量と流出負荷量及び晴天時負荷量

初期残存負荷量 P_0 、先行降雨量 $\int_{t_0}^t i dt$ のように影響しているのかは必ずしも明確ではない。その理由は先行降雨によって流送された分の負荷量が、堆積地点 K においてどのように補給されていくのか、即ち堆積負荷の回復現象が実際どのようになつていいのか観測した例が少いからである。図9は一つの路面をいくつかのブロックに分け、経時に一つ一つのブロック上に堆積している負荷量を測定したものである。調査の性質上測定値にバラツキが生ずるのは止むを得まい。堆積負荷の回復曲線は上凸の曲線を描き、ある一定の上限値に収束する傾向を持つ。

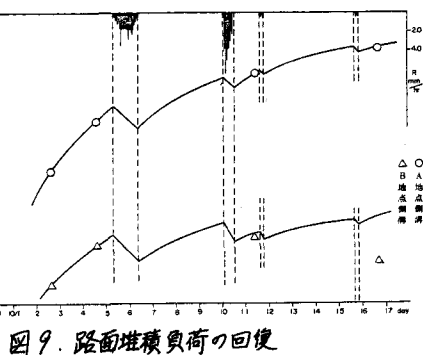


図9. 路面堆積負荷の回復

⑧式で示される負荷流出が生じたとき残存している負荷量 P は、

$$P = P_0 \cdot \exp(-k \cdot \int_{t_0}^t i dt) \quad ⑨$$

と表わされると、いま活潑負荷の供給速度を i ($\text{kg}/\text{ha}/\text{hr}$) として大時間後の残存負荷量を P' とすれば

$$dP/dt = i \cdot (P_m - P')/P_m \quad (P_m: \text{残存負荷量の capacity}) \quad ⑩$$

K より P' の連続式が表わせよ。補給量 i の積分値 $\int_{t_0}^t i dt = I$ (kg/ha) とき、 $P'_0 = P = P_0 \cdot \exp(-k \cdot \int_{t_0}^t i dt)$ を使うと

$$P' = P_m \cdot [1 - (1 - \frac{P_0}{P_m} \cdot \exp(-k \cdot \int_{t_0}^t i dt)) \cdot \exp(-I/P_m)] \quad ⑪$$

が大時間後の残存負荷量となる。 $P_0 = P_m$ の場合には

$$P' = P_m \cdot [1 - (1 - \exp(-k \cdot \int_{t_0}^t i dt)) \cdot \exp(-I/P_m)] \quad ⑫$$

となる。従って先行降雨の影響は、従来から言われている先行降雨の流出量 $\int_{t_0}^t i dt$ 、先行晴天時間 t といふ水文要因の他 K を残存負荷量の capacity P_m 、負荷流出係数 k 、負荷供給速度 i などの様々のパラメーターを考慮して表われ、地域的 K 差のあることがわかる。表3は下水管渠の BOD

Table 3 $P_m(\text{kg}/\text{ha})$ and $i(\text{kg}/\text{ha}/\text{hr})$

	(ha)	$P_m(\text{kg}/\text{ha})$	$i(\text{kg}/\text{ha}/\text{hr})$	i/P_m
SA	44.33	6.0	0.504	.084
KA	35.13	9.0	0.758	.084
YO	22.09	6.0	0.692	.115
TO	68.37	7.5	0.892	.119
NA	39.5	6.0	0.633	.106
KY	148.49	25.0	3.217	.129
OS	45.5	15.0	0.875	.058
HI	215.14		0.321	
KI	57.6	8.0	0.054	.007
FU	17.61	16.0	4.217	.264

4.まとめ

雨天時合流式下水道の雨水および汚濁負荷の流出特性について述べたわけであるが、紙数の都合で制御のこと K は触れることは出来なかった。図5あるいは図8から明らかなように、都市化によると浸透域の減少は雨水流出量の強度的および総量的を増加をもたらす結果として汚濁負荷流出量の強度的・総量的を増加につながる。従って浸透域を確保することとは、雨天時の汚濁対策の中でも最も基本的な方法と言える。汚濁負荷の流出特性から、過剰越流水の一時的な貯留と貯留下水の処理の組み合わせは現実的で効果的な方法であり、設計法の確立が急がれる分野と思われる。また雨天時下水を直接処理するという方法は負荷の流出特性から考えると相当慎重にならざるを得ないであろう。

(参考文献) 山口等: 都市域における流出量調査第2,3報; 土木学会誌 vol.14-11, vol.15-7, P.S.Eagleson: Dynamic Hydrology McGrawHill, 長屋: 都市化と流出、水工研修1974, 指場: 雨天時下水の水量水質制御 K の研究, 京大学院論文, 1974 中村: 合流式下水道対策の検討, 下水道協会誌 vol.15, 16, 173, 中村等: 合流式下水道対策の検討(付1報), 第15回衛工討論会